

周期的掃流場におけるSSの挙動に関するシミュレーション

岩手大学 正 海田輝之

" 正 大村達夫

" 正 大沼正郎

1.はじめに 河口感潮部でのSSの挙動は水理条件の変動や底泥自体の物性の複雑さ等のため、その挙動の解明の重要性にもかかわらず未解決の問題といえる。本研究は底面剪断応力を周期的に変動させた室内実験におけるSSの挙動を一定剪断応力下での巻き上げ及び沈降実験で得られた知見をもとに検討したものである。

2. 実験装置、方法、結果¹⁾ 実験は試料として筑後川河口部で採取した底泥を用いた。試料の平均径は6μm、比重2.92、LL 99%，PL 41%，Ignition Loss 12%であった。実験装置としては円形回転水路を用いた。底面剪断応力は図-1に示したように最大剪断応力を0.4 N/m²として周期的に変動させた。実験方法としては試料を5時間以上先に搅拌後、図-1のT=0.4 N/m²から実験を開始し、SSを経時的に測定した。

なお、実験は比重1.025の塩水中で行なった。図-2に剪断応力(ε)の変動に伴うSSの変化を示した。図中の数字は周期回数を示している。SSは図上で左回りのループを描いて変動し、周期を繰り返すに従い巻き上げられる底泥の量が少なくなっている。また、1つの周期ではSSは0から徐々に大きくなり、でも若干低下し、その後SSは増加し始め、最大剪断応力付近ではSSは最大値をとり、その後下に伴ないSSは減少し、0近くになるとSSは急速に減少している。

3. シミュレーションの手法 図-2に示したSSの挙動をシミュレートするため、これまで筆者らが得た知見をもとに、1周期

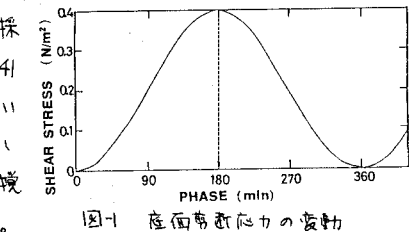


図-1 底面剪断応力の変動

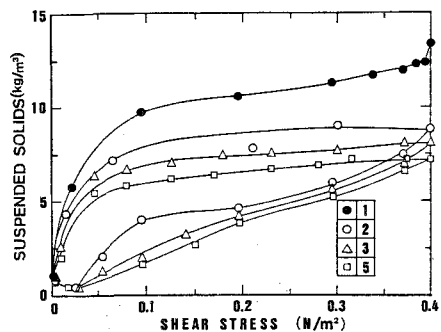


図-2 への曝露に伴うSSの変化

を① $\bar{\epsilon}_c \sim \bar{\epsilon}_{max}$ 、② $\bar{\epsilon}_{max} \sim \bar{\epsilon}_d$ 、③ $\bar{\epsilon}_d \sim \bar{\epsilon}_c$ の3つの区間に分けた。ここで $\bar{\epsilon}_c$ は巻き上げの限界剪断応力、 $\bar{\epsilon}_d$ は底泥沈降が顕著になる剪断応力であり、①の区間では巻き上げ、②の区間では粒子はさほどフロックを形成せず分散した状態で沈降し、③の区間では底泥沈降が生じるとした。巻き上げについては底泥最表面の限界剪断応力によりて大きくなく、たとえばこの $\bar{\epsilon}_c$ を $\bar{\epsilon}_c'$ とし、各時刻で $\bar{\epsilon}_c' > \bar{\epsilon}$ と巻き上げが生じるとした。 $\bar{\epsilon}_d$ の値は一定剪断応力下での沈降実験より 0.25 N/m^2 とした。また、水路底に底泥が存在する時には底泥は圧密により強化を受ける可能性があるとした。以下具体的に①～③のシミュレーション手法を示す。

①巻き上げ 巷き上げのフラッシュ E は一定剪断応力の下での巻き上げ実験の $t=0$ での巻き上げ速度から

$$E = 0.00917 (\frac{\bar{\epsilon}}{\bar{\epsilon}_c} - 1)^{1.9} \quad [\text{kg/m}^2 \cdot \text{s}] \quad \cdots (1)$$

を得た。この式を用いる場合、実際には底泥が巻き上げられ新たな表面が現われたため、表面の $\bar{\epsilon}$ は時間とともに変化していく。従って、底泥表面の $\bar{\epsilon}$ が既知でなければならぬ。ここで $\bar{\epsilon}$ は底泥の $\bar{\epsilon}_c$ が固体充填率($1-\varepsilon$)の α に依存するとして、 $1-\varepsilon$ をえた端部の巻き上げの限界剪断応力を実験的に求め

$$\bar{\epsilon}_c = 6.5 (1-\varepsilon)^{1.6} \quad [\text{N/m}^2] \quad \cdots (2)$$

とした。

②分散した状態での沈降 種々の一定剪断応力の下での沈降実験の結果を

$$\frac{C - C_\infty}{C_0 - C_\infty} = e^{-\frac{W}{H} t} \quad \cdots (3)$$

で近似した。ここで、 C_0 :初期濃度、 C_∞ :あるまでの時に充分時間が経過しても沈降しないSS濃度、 H :水深、 W :沈降速度、 t :時間である。(3)式を用いる場合、 $\bar{\epsilon}$ と C_0 あるいは W との関係が求めねばならない。 $\bar{\epsilon}$ と W との関係は(1)式をもとに実験結果から

$w = 8.94 \times 10^{-4} (\frac{T}{T_{cd}}) + 0.0002$ [cm/s] --- (4) となる。また、 \bar{C} と C_0 の関係は図-3 に示したようすに $\frac{T-T_{cd}}{T_{0.5}-T_{cd}} = C'_{\bar{C}}$ と C/C_0 の関係が対数正規分布に従うとの式 $\frac{T-T_{cd}}{T_{0.5}-T_{cd}} = C'_{\bar{C}}$ となり、 C' の平均を \bar{C}' 、偏差を $\log \sigma$ とすれば、 $\bar{C} = \bar{C}' T_{0.5}$ にて

$$\frac{C}{C_0} = \frac{1}{\sqrt{2\pi}} \int_{-\infty}^{\frac{T-T_{cd}}{T_{0.5}-T_{cd}}} \exp(-\frac{1}{2}x^2) dx \quad \dots \dots \quad (5)$$

この関係において $C/C_0 = 0.5$ となる時の $\log \sigma$ は図-3 にて各々 0.600, 0.92 となる。

③凝集沈降 凝集沈降の区間では粒径の SS と沈降フラックス F_d との関係を実験より求めると図-4 に示したようすに両対数軸上で直線で示す。

$$F_d = 420 C^2 \quad [\text{kg}/\text{m}^2 \cdot \text{s}] \quad \dots \dots \quad (6)$$

上層水中的 SS のみに関するものである。また、②及び③の区間では沈降した直後の底泥の $1-E$ は 0.98 と仮定した。

以上より 3 つの区間ごとの変動に伴う巻き上げは必ずしも沈降量が規定されたのではなくシミュレーションが可能となる。底泥自体の挙動としては剪断歪による硬化と圧密の影響を考慮する必要があるが、基本式及び仮定は本発表会の今野の論文と同様であるのでここでは省略する。計算は $\Delta t = 1$ 秒とする explicit の差分法で行った。

4 シミュレーションの結果 図-5 に第 7 周期までの SS の挙動についての計算結果を示す。各周期ごとの SS の増減のパターンは実験結果をよく表している。また、第 2 周期までの SS の計算値は実験値と概ね一致している。しかししながら、第 3 周期以降では計算の巻き上げ量が実験値よりも大きくなっている。つまり、長期間の SS の予測については検討の余地がある。図-6 に鉛直方向の空げき率の分布に伴う計算結果を示す。(第 3 周期) 縦軸は底面から累積した底泥量を示している。 $T_{0.5}$ から T_{max} までの巻き上げの区間では残存する表層近くの底泥の空げき率は剪断歪により時間とともに低下し、この低下が巻き上げ速度の低下を引き起している。また、 $T=0.4 \text{ N/m}^2$ の時刻では残存する底泥は巻き上げ及び沈降に関与しないものである。 T_{max} から T_{cd} までの沈降の区間では沈降した底泥は剪断歪により空げき率は 0.98 より小さくなっている。また、時間が経過するにつれて、新たに底泥が堆積するため

$T=0$ の時刻ではこの区間に沈降した底泥のまわりを表すと表層の空げき率は大きくなっている。以上よりシミュレーションの結果は底泥内の空げき率の増減を定性的には良く表していると考えられる。

今後はシミュレーションを用いた各区間ごとの式をさらに改良し、検討する予定である。

(参考文献) 1) T. Ueda et al. The behavior of suspended sediments and muds in an estuary, Wat. Sci. Tech. Vol. 17, pp. 915-927 (1984)

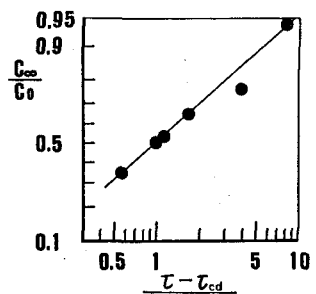


図-3 \bar{C} と C_0 の関係。

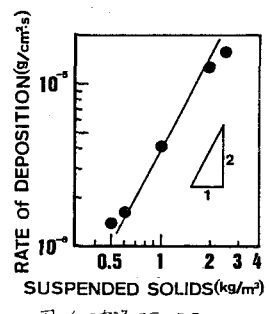


図-4 沈降フラックス

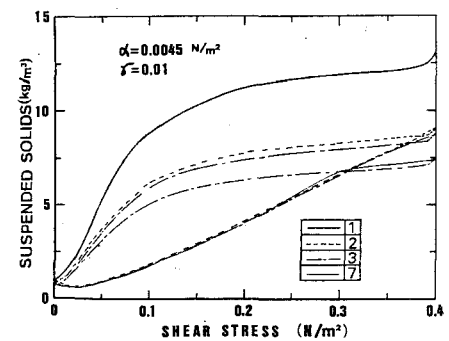


図-5 ての増減に伴う SS の変化(計算値)

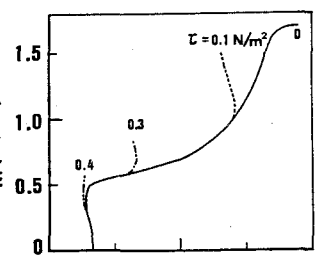


図-6 空げき率の変化
($T=0 \rightarrow T=T_{max}$)

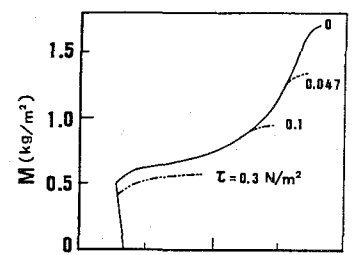


図-6 空げき率の変化
($T=T_{max} \rightarrow T=0$)